

首都高速道路公団

正会員

矢作 勉

"

"

〇橋本 守

"

"

大野 豊平

1. はじめに

この論文は連続地中壁を用いた版状基礎(図-1)の实用的な設計方法を提案するを目的としたものである。版状基礎は一般的には面内方向(X-Z面)と面外方向(Y-Z面)および鉛直方向(X-Y面)の外力を受けるが、ここでは主として壁面に垂直に作用する面外方向荷重を対称とした。

解析に用いたモデルの諸元を表-1のとおりである。また、面外荷重に對する水平方向地盤反力係数は基礎底面より一定とし、 $K_H=1.0\text{kg/cm}^2, 2.0\text{kg/cm}^2, 3.0\text{kg/cm}^2, 5.0\text{kg/cm}^2$ の4ケースとした。面外方向外力として、曲げモーメント $M=3900\text{kg}\cdot\text{m}$ 、水平力 $H=107.0\text{t}$ が視ばり橋脚の接合点(A, A')に作用するものとした。以上の様な各諸元の組合せモデル基礎に對して版状基礎として解析した結果と、版状基礎と一本の橋脚基礎(くい基礎)と仮定して Chang の式で解析した結果とを対比させることにより、实用的な版状基礎の設計断面力を求める計算図表を作成したのでここにその一部を報告するものがある。

2. 解析方法 (2-1) 面外荷重に對する壁構造としての解

版状基礎の解析においては、視ばりは外力を地中壁基礎に伝達させる一本のはり部材と考へた。解析方法は版状基礎を格子部材として仮定し、その各点には積点バネを導入した。計算は任意剛立体骨組構造解析プログラムを用いた。

(2-2) くい基礎としての解 版状基礎をくいとして考へた場合の解と求めた。計算としては、Chang の式を用い、 π/β まで有限長、無限長を別別し、それらの計算式を用いて計算を行った。ここでは得られた断面力は版状基礎の設計を行う上での基本値として採用するものがある。

(2-1) では、Z軸廻りの曲げモーメント M_z と Y軸廻りの曲げモーメント M_y が結果として得られるが、先述した様に、ここでは M_y についてのみに着目する。以上の解析によつて得られたデータを基として以下に記す方法により整理し、最終的に計算図表として図化した。

3. 解析結果の整理と結果 連続地中壁は図-1に示す様に、深さ方向(Z軸方向)でAB間は曲げ剛度の大きい視ばりがあり、それより下方のBC間は剛度の小さい連続地中壁である。外力は一般にはA点に作用するものと考え、外力としては水平力H、曲げモーメントM、鉛直力Nで表される。いま、版状基礎について、X-Z面内に作用する面外荷重について考へると、応い隔とある一つのくい基礎と考へることが出来る。視ばりの剛度が無限大(=∞)である位いと大であれば、版状基礎は棒状のくいとして考へて解くことが出来るが、視ばりの剛度が有限値とすれば版状基礎が受ける曲げモーメント M_y は、壁中央部と極大値を示し、壁の両端部に最小値を示すことが予想される。また、設計値である M_y の極大値は視ばりの剛度が小さくなるに従って大きくなることを予想される。以上の様な M_y の変化の仕方は、横方向地盤反力係数 K_H 、壁幅B、壁長さなどの函数としてとらえようとするのである。面外荷重に依る M_y は、視ばりが一定の剛度と考へた場合に図-2の様な関係を示

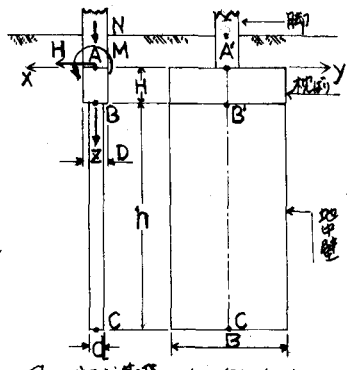
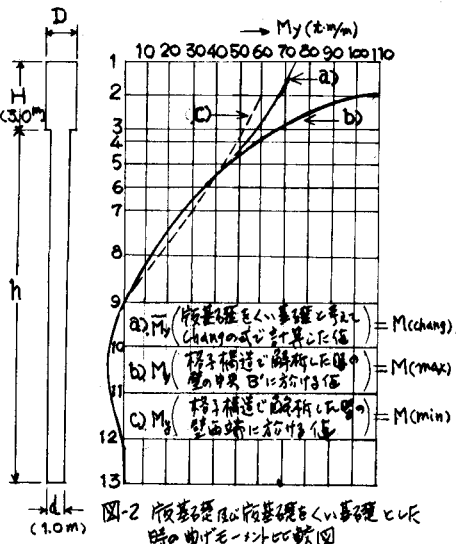


図-1 版状基礎とそれに対する外力

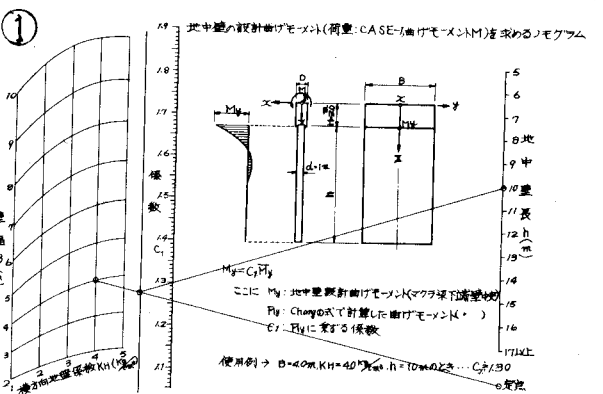
モデル諸元	No.1	No.2	No.3	No.4	No.5	No.6	No.7	No.8	No.9	No.10
視ばり D	0	1.5	1.5	1.5	2.0	1.5	1.5	1.5	1.5	2.0
視ばり H	0	3.0	3.0	3.0	3.0	3.0	3.0	3.0	3.0	3.0
地中壁 B	5.0	5.0	5.0	5.0	5.0	7.2	10.0	10.0	10.0	10.0
地中壁 d	1.0	1.0	1.0	1.0	1.0	1.0	1.0	1.0	1.0	1.0
地中壁 h	20.0	7.0	11.0	17.0	17.0	11.0	7.0	11.0	17.0	17.0

表-1 解析に用いたモデル諸元

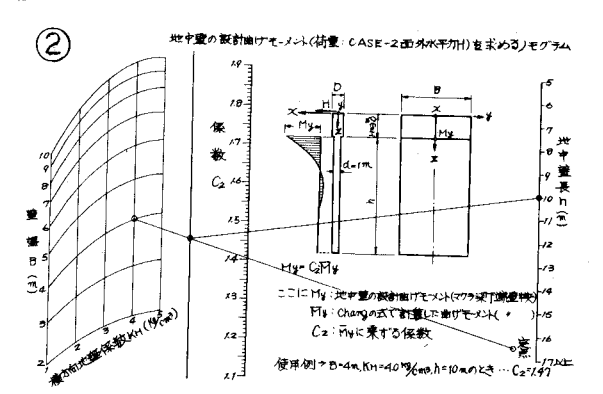
す。即ち、版状基礎を格子上部構造として解析した際の視ばり下端に於ける壁体の M_y 値が壁中央 (B点) で $M_y = M_{c(max)}$ 、壁両端で $M_y = M_{c(min)}$ であり、視ばりの剛度が十分に大きいとき ($I = \infty$) $\bar{M}_y = M_{c(max)}$ とすれば、 $M_y = \bar{M}_y (1 + \frac{M_{c(max)} - M_y}{M_y}) = C \cdot \bar{M}_y$ 、 $C = M_y / \bar{M}_y$ と表わすことが出来る。Cは K_H, B, R, D の函数である。いま、Cの値と外力が軸方向の場合 (Case-1) と水平力の場合 (Case-2) について各モデルの組合せについて計算した結果 $C = 1.2 \sim 1.6$ となる。また、Cの値に与える各要素 (K_H, B, R, D) の度合いは、Case-1の場合は B, K_H, R, D の順に、Case-2の場合には K_H, B, R, D の順になることが判明した。いづれの場合にも視ばりの高さ D の M_y に与える影響は小さく無視し得るものと判断されたので案用解からは D の項を除外して表わすことにした。設計断面力 $M_{y(max)}$ と $M_{y(min)}$ $= C \cdot \bar{M}_y$ として表現する場合、理想的にはCを各要素の函数として、 $C = f(B, K_H, R, D)$ で表わすのが良いのであるが、Cを上式の様



に各要素を含む差方程式とすることは極めて難かしい。そこで、Case-1, Case-2 とともにCの値を K_H, B のグラフで表わし、これに壁長尺の影響を加味したモジュールで表わす方法を採用した。この結果がノモグラム①、②である。以上は、連続中壁を用いた版状基礎の壁体部のZ軸方向の断面決定を行なう際の断面力 $M_y(max)$ の算定方法であるが、Y軸方向の断面決定を行なう際の断面力 $M_z(max)$ の算定も同様な手法で算くことが出来るが、断面の都合で割愛せしめたことにする。



4. 適用の範囲 適用の範囲は理論的に決定したものではないが、以下に記す適用範囲に添えばその適用を誤ることはないと考え。即ち、(1) 壁厚は1.0であること。(2) 視ばりの高さは壁厚の2倍程度以下であること。(視ばりの高さは3.0とある)(3) 壁幅は2.0m~10.0m (4) 壁長は5.0m以上とある。(5) 横方向の土反力係数は $1.0 \times 10^4 \text{ cm}^2 \sim 5.0 \times 10^4 \text{ cm}^2$ とある。



5. まとめ 以上、地中壁に係る版状基礎の壁体の設計方法について、主として M_y の最大値を求めることに主眼を置いて記したが、実際には M_y はZ軸方向にも、Y軸方向にも変化するのでその変化の割合は $M_y(max)$ と基準に比べた比率で表わす表を作成しおけばよい。今回作成したノモグラムには1つの大きな仮定がある。即ち、地中壁は完全に理想化された単一版状であることである。実際には地中壁はエレメント毎に施工されるので完全に一体化されたものではない。この事からも更に検討をせしめる必要がある。断面の都合で結果だけの記述となるが、この過程の詳細については講演会当日に報告する予定である。